

บทที่ 4

ผลการวิจัย

คุณภาพน้ำโดยทั่วไปในริเวรบึงบีกงและอ่าวไทย

ผลการศึกษาคุณภาพน้ำในพื้นที่ศึกษาทั้ง 11 สถานีในแม่น้ำบางปะกงและอ่าวไทย ตั้งแต่ บางนา ก อำเภอ บ้านสร้าง จังหวัดปราจีนบุรี เรื่อยลงมาถึงทะเลหน้าบึงและแม่น้ำเจ้าพระยา จังหวัด ชลบุรี ระยะทางทั้งสิ้น 122 km ความลึกของน้ำในต้นคูแม่น้ำ (ธันวาคม) มีพิสัยอยู่ในช่วง 3.7 - 18 m (ค่าเฉลี่ย 9.75 ± 1.43 m) ปลายคูแม่น้ำ (เมษายน) อยู่ในช่วง 3 - 18 m (ค่าเฉลี่ย 8.78 ± 1.55 m) ต้นคูผัน (มิถุนายน) อยู่ในช่วง 2.5 – 18 m (ค่าเฉลี่ย 8.36 ± 1.37 m) ปลายคูผัน (กันยายน) อยู่ใน ช่วง 4.5 - 20 m (ค่าเฉลี่ย 10.5 ± 1.47 m) ผลการวิเคราะห์ความแปรปรวนของค่าเฉลี่ยความลึก พบว่าต่อผลค่าANOVA 4 ฤทธิ์การ ไม่มีความแตกต่างกันทางสถิติ ($p > .05$) ต่อผลการศึกษาคุณภาพน้ำ โดยทั่วไปที่สำคัญ ได้แก่ อุณหภูมิ ความเค็ม ความเป็นกรด-ด่าง และปริมาณออกซิเจนละลายน้ำ ผลการศึกษาแสดงในตารางที่ 2 และรูปที่ 6 ตามลำดับ โดยมีรายละเอียดดังต่อไปนี้

1. อุณหภูมิ จากการตรวจพบว่า ต้นคูแม่น้ำอุณหภูมน้ำอยู่ในช่วง $27.80 - 30.70^{\circ}\text{C}$ (ค่าเฉลี่ย $29.10 \pm 0.11^{\circ}\text{C}$) การเปลี่ยนแปลงอุณหภูมน้ำระหว่างสถานานีมีความแปรปรวน โดยสถานี ต้นน้ำคือ บางนา ก บางคล้า ท่าใหม่ บ้านโพธิ์ บางปะกง และวัดบน น้ำมีอุณหภูมน้ำใกล้เคียงกัน หลังจากนั้นอุณหภูมน้ำจะมีแนวโน้มลดลงเมื่อสถานานีออกสู่ทะเล (B 2 – B 6) ทั้งนี้อุณหภูมน้ำต่ำสุด ในสถานี B3 และสูงสุดในสถานีวัดบน ปลายคูแม่น้ำอุณหภูมน้ำที่วัดได้อยู่ในช่วง $30.25 - 33.08^{\circ}\text{C}$ (ค่าเฉลี่ย $31.56 \pm 0.15^{\circ}\text{C}$) การเปลี่ยนแปลงอุณหภูมน้ำระหว่างสถานานีมีความแปรปรวน โดยสถานี ต้นน้ำคือ บางนา ก บางคล้า ท่าใหม่ บ้านโพธิ์ น้ำมีอุณหภูมน้ำใกล้เคียงกัน และมีค่าสูงขึ้นใน สถานีบางปะกง และวัดบน หลังจากนั้นอุณหภูมน้ำจะลดลงในสถานานีที่ออกสู่ทะเล ตามลำดับ (B2 – B6) ทั้งนี้อุณหภูมน้ำต่ำสุดในสถานี B6 และสูงสุดในสถานีวัดบน ต้นคูผันอุณหภูมน้ำที่ ตรวจวัดได้อยู่ในช่วง $29.98 - 32.74^{\circ}\text{C}$ (ค่าเฉลี่ย $31.52 \pm 0.15^{\circ}\text{C}$) การเปลี่ยนแปลงอุณหภูมน้ำ ระหว่างสถานานีมีความแปรปรวน โดยสถานีต้นน้ำคือ บางนา ก บางคล้า ท่าใหม่ บ้านโพธิ์ และ บางปะกง น้ำมีอุณหภูมิใกล้เคียงกัน และมีค่าสูงขึ้นในสถานานีวัดบน B2 และ B3 หลังจากนั้น อุณหภูมน้ำจะลดลงในสถานี B4 ถึงสถานี B6 ทั้งนี้อุณหภูมน้ำต่ำสุดในสถานี B6 และสูงสุดใน สถานี B2 และอุณหภูมน้ำที่ตรวจวัดปลายคูผันพบว่าอยู่ในช่วง $29.22 - 30.82^{\circ}\text{C}$ (ค่าเฉลี่ย $29.58 \pm 0.06^{\circ}\text{C}$) การเปลี่ยนแปลงอุณหภูมน้ำระหว่างสถานานีมีความแปรปรวนน้อยมาก โดยอุณหภูมน้ำ ต่ำสุดในสถานีบางปะกง และสูงสุดในสถานี B4 (ภาพที่ 6 ก)

ผลการวิเคราะห์ความแปรปรวนของค่าค่าเฉลี่ยอุณหภูมิน้ำในแม่น้ำบางปะกงตลอดลำน้ำในแต่ละฤดูกาล พบว่า ฤดูกาลต่างกันส่งผลให้อุณหภูมน้ำในแม่น้ำบางปะกงมีความแตกต่างกันทางสถิติ ($p < .05$) โดยอุณหภูมน้ำสูงที่สุดในปลายฤดูแล้ง แต่ไม่แตกต่างจากต้นฤดูฝน ขณะที่อุณหภูมน้ำต่ำที่สุดในต้นฤดูแล้ง และอุณหภูมน้ำในช่วงนี้มีความแปรปรวนมากที่สุดเมื่อเปรียบเทียบกับฤดูอื่น ๆ สำหรับผลการวิเคราะห์ความแปรปรวนของค่าค่าเฉลี่ยอุณหภูมน้ำในแม่น้ำบางปะกงในแต่ละสถานี ตลอดระยะเวลาที่ทำการศึกษา พบว่า สถานีต่างกันส่งผลให้อุณหภูมน้ำในแม่น้ำบางปะกงมีความแตกต่างกันทางสถิติ ($p < .05$) โดยอุณหภูมน้ำสูงที่สุดในสถานีวัดบน และสูงกว่าสถานีอื่น ๆ อย่างมีนัยสำคัญอิสระทางสถิติ ขณะที่อุณหภูมน้ำต่ำที่สุดในสถานี B6 ทั้งนี้จะเห็นได้ว่าอุณหภูมน้ำในช่วงต้นน้ำมีค่าใกล้เคียงกันและมีความแปรปรวนน้อย ต่อมาอุณหภูมน้ำเริ่มมีค่าสูงขึ้นในตอนกลางของลำน้ำและมีความแปรปรวนมาก และอุณหภูมน้ำมีแนวโน้มต่ำลงอีกรึ้นและมีความแปรปรวนน้อยในสถานีที่ออกสู่ทะเล

2. ความเค็มน้ำ จากการตรวจพบว่า ต้นฤดูแล้งพบได้ในช่วง 0.10 – 32.68 psu (ค่าเฉลี่ย 17.27 ± 2.54 psu) โดยมีค่าต่ำสุดในสถานีต้นน้ำ คือสถานีบางนา กะบาล คล้า แล้วค่อย ๆ เพิ่มขึ้นตามระยะทางออกสู่ทะเล จนกระทั่งสูงสุดและค่อนข้างคงที่ประมาณ 32 psu ใน 3 สถานีสุดท้าย ส่วนปลายฤดูแล้ง พบได้ในช่วง 8.67 – 30.05 psu (ค่าเฉลี่ย 23.74 ± 1.28 psu) โดยค่าต่ำสุดอยู่ที่สถานีบางนา แล้วค่อยๆ สูงขึ้นตามระยะทางออกสู่ทะเล เช่นเดียวกัน สำหรับต้นฤดูฝนค่าความเค็มน้ำที่ตรวจวัดได้อยู่ในช่วง 0.18 – 32.68 psu (ค่าเฉลี่ย 10.55 ± 2.04 psu) และปลายฤดูฝนอยู่ในช่วง 0.07 – 26.70 psu (ค่าเฉลี่ย 6.50 ± 1.80 psu) โดยพบว่าตลอดฤดูฝนนี้ ค่าความเค็มน้ำต่ำสุดที่สามารถวัดได้อยู่ที่สถานีบางนา และค่อย ๆ เพิ่มสูงขึ้นตามลำดับระยะทาง ออกสู่ทะเล เช่นกัน (ภาพที่ 6 ข)

ผลการวิเคราะห์ความแปรปรวนของค่าเฉลี่ยความเค็มน้ำในแม่น้ำบางปะกงตลอดลำน้ำ ในแต่ละฤดูกาล พบว่า ฤดูกาลต่างกันส่งผลให้ค่าความเค็มน้ำในแม่น้ำบางปะกงมีความแตกต่างกันทางสถิติ ($p < .05$) โดยค่าความเค็มน้ำ สูงที่สุดในปลายฤดูแล้ง (เมษายน) รองลงมาคือต้นฤดูแล้ง (ธันวาคม) ต้นฤดูฝน (มิถุนายน) และปลายฤดูฝน (กันยายน) ตามลำดับ สำหรับผลการวิเคราะห์ความแปรปรวนของค่าเฉลี่ยความเค็มน้ำในแต่ละสถานีตลอดระยะเวลาที่ทำการศึกษา พบว่า สถานีต่างกันส่งผลให้ความเค็มน้ำในแม่น้ำบางปะกงมีความแตกต่างกันทางสถิติ ($p < .05$) โดยค่าความเค็มน้ำแนวโน้มสูงขึ้นตามระยะทางออกสู่ทะเล ทั้งนี้ค่าความเค็มน้ำที่ตรวจวัดได้สูงที่สุดในสถานี B6 ขณะที่ค่าต่ำที่สุดในสถานีบางนา ทั้งนี้จะเห็นได้ว่าค่าความเค็มน้ำมีความแปรปรวนสูงในสถานีกลางลำน้ำ (ตั้งแต่สถานีบ้านโพธิ์ถึง B4)

3. ความเป็นกรด - ด่าง ของน้ำ จากการตรวจพบว่า ต้นคุณลักษณะพบได้ในช่วง 6.67 – 7.89 (ค่าเฉลี่ย 7.29 ± 0.08) โดยค่าความเป็นกรด - ด่างของน้ำมีแนวโน้มสูงขึ้นตามระยะเวลาที่ออกสู่ทะเล ค่าต่ำสุดที่ตรวจวัดได้จากสถานีบางนา ก และค่าสูงสุดจากสถานี B6 ปลายคุณลักษณะพบค่าความเป็นกรด - ด่างของน้ำพบได้ในช่วง 7.21 – 8.00 (ค่าเฉลี่ย 7.60 ± 0.05) โดยค่าความเป็นกรด - ด่างของน้ำที่ตรวจวัดได้มีแนวโน้มสูงขึ้นตามระยะเวลาที่ออกสู่ทะเลเรื่อยๆ ทั้งนี้ค่าต่ำสุดที่ตรวจวัดได้จากสถานีบางนา ก และค่าสูงสุดจากสถานี B6 ขณะที่ต้นคุณลักษณะพบค่าความเป็นกรด - ด่างของน้ำพบได้ในช่วง 7.49 – 8.17 (ค่าเฉลี่ย 7.67 ± 0.07) โดยค่าต่ำสุดที่ตรวจวัดได้อยู่ในสถานีบางคล้า และสูงสุดอยู่ในสถานี B6 และปลายคุณลักษณะพบค่าความเป็นกรด - ด่างของน้ำพบได้ในช่วง 7.09 – 8.14 (ค่าเฉลี่ย 7.58 ± 0.07) โดยค่าต่ำสุดตรวจวัดได้จากสถานีบ้านโพธิ์ และสูงสุดจากสถานี B4 (ภาพที่ 6 ค)

ผลการวิเคราะห์ความแปรปรวนของค่าเฉลี่ยความเป็นกรด - ด่าง ของน้ำในแม่น้ำบางปะกง ตลอดลำน้ำในแต่ละคุณภาพ พบร่วมกับ ฤทธิ์การตั้งกันส่งผลให้ค่าความเป็นกรด - ด่าง ของน้ำในแม่น้ำ บางปะกง มีความแตกต่างกันทางสถิติ ($p < .05$) โดยค่าความเป็นกรด - ด่าง ของน้ำ สูงที่สุดใน ต้นคุณลักษณะพบ แต่ไม่แตกต่างจากปลายคุณลักษณะพบ และปลายคุณลักษณะพบ ขณะเดียวกันค่าความเป็นกรด - ด่าง ของน้ำต่ำที่สุดในต้นคุณลักษณะพบ และต่ำกว่าทุกคุณลักษณะพบ มีนัยสำคัญทางสถิติ สำหรับผลการวิเคราะห์ ความแปรปรวนของค่าเฉลี่ยความเป็นกรด - ด่าง ของน้ำในแต่ละสถานีตลอดระยะเวลาที่ทำการศึกษา พบร่วมกับ สถานีตั้งกันส่งผลให้ค่าเฉลี่ยความเป็นกรด - ด่าง ของน้ำในแม่น้ำบางปะกง มีความแตกต่าง กันทางสถิติ ($p < .05$) โดยค่าความเป็นกรด - ด่าง ของน้ำมีแนวโน้มสูงขึ้นตามระยะเวลาออกสู่ทะเล ทั้งนี้ค่าความเป็นกรด - ด่าง ของน้ำที่ตรวจวัดได้สูงที่สุดในสถานี B6 ขณะที่ค่าต่ำที่สุดในสถานี บางนา ก ทั้งนี้จะเห็นได้ว่าค่าความเป็นกรด - ด่าง ของน้ำในสถานีต้นน้ำจะมีความแปรปรวน สูงกว่าเมื่อเทียบกับสถานีในทะเล

4. ออกซิเจนละลายน้ำ จากการตรวจพบว่า ต้นคุณลักษณะพบได้ในช่วง 2.63 – 5.73 mg/l (ค่าเฉลี่ย 3.78 ± 0.24 mg/l) โดยปริมาณออกซิเจนละลายน้ำมีแนวโน้มลดลงจากสถานีต้นน้ำคือ สถานีบางนา ก บางคล้า ท่าใหม่ บ้านโพธิ์ บางปะกง จนมีค่าต่ำสุดที่สถานีวัดบน หลังจากนั้น มีแนวโน้มเพิ่มสูงขึ้นเรื่อยๆ ตามระยะเวลาออกสู่ทะเล และมีค่าสูงสุดในสถานี B6 ปลายคุณลักษณะพบ ปริมาณออกซิเจนละลายน้ำพบได้ในช่วง 3.30 – 5.37 mg/l (ค่าเฉลี่ย 4.15 ± 0.15 mg/l)

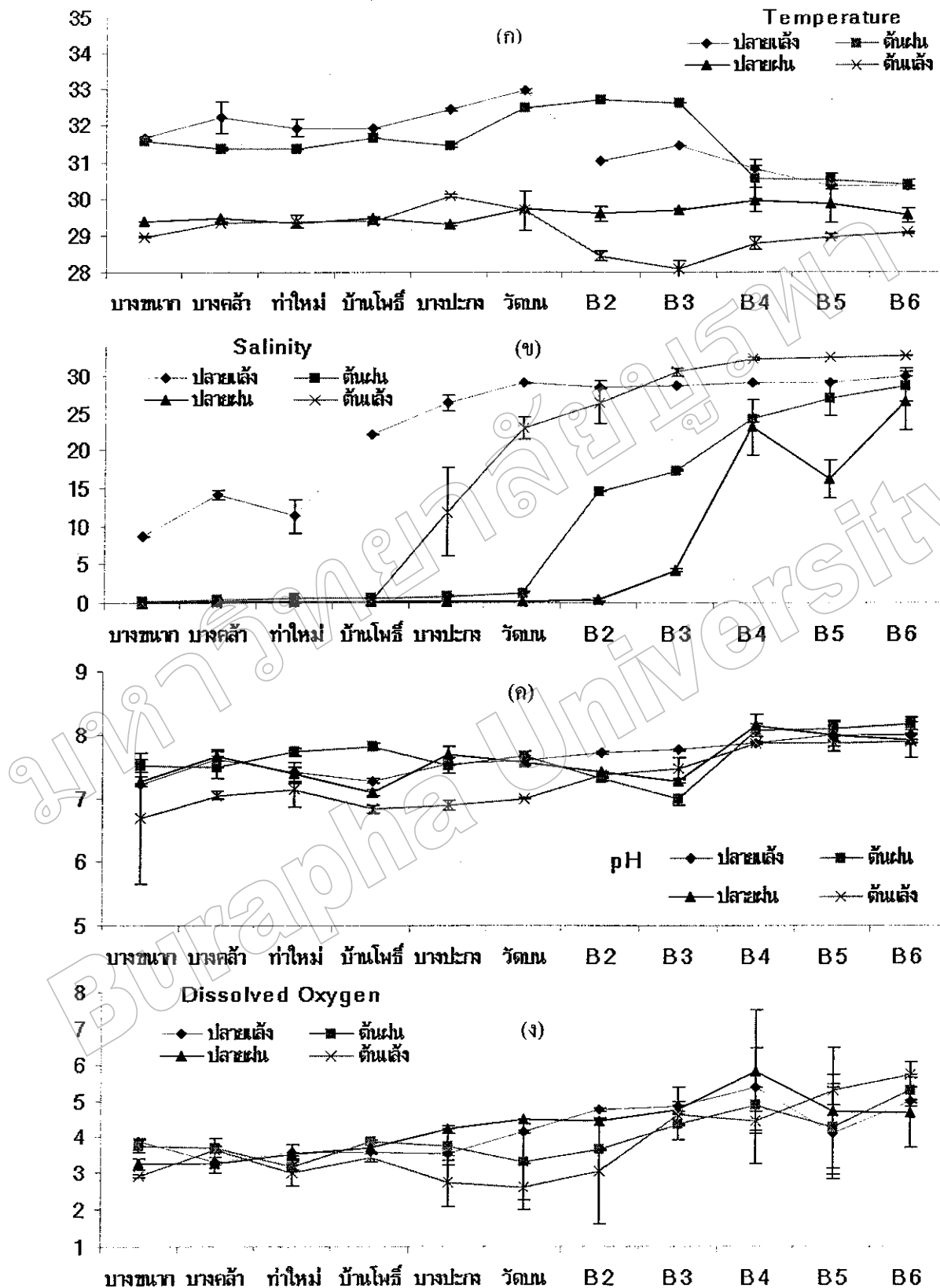
โดยปริมาณออกซิเจนละลายน้ำมีแนวโน้มลดลงจากสถานีต้นน้ำคือ สถานีบางนา ก จนมีค่าต่ำสุด ที่สถานีบางคล้า หลังจากนั้นมีแนวโน้มเพิ่มสูงขึ้นเรื่อยๆ ตามระยะเวลาออกสู่ทะเล และมีค่าสูงสุด ในสถานี B4 ต้นคุณลักษณะพบปริมาณออกซิเจนละลายน้ำพบได้ในช่วง 3.21 – 5.28 mg/l (ค่าเฉลี่ย

$4.01 \pm 0.21 \text{ mg/l}$ โดยปริมาณออกซิเจนชีวภาพน้ำมีแนวโน้มลดลงจากสถานีต้นน้ำ ตั้งแต่สถานีบางนา ก ถึงสถานี B2 ค่าต่ำสุดวัดได้ในสถานีท่าใหม่ หลังจากนั้นมีแนวโน้มเพิ่มสูงขึ้นเรื่อยๆ ตามระยะทางออกสู่ทะเล และมีค่าสูงสุดในสถานี B6 และปลายกุฎ忿ปริมาณออกซิเจนละลายน้ำพบได้ในช่วง $3.27 - 5.80 \text{ mg/l}$ (ค่าเฉลี่ย $4.27 \pm 0.27 \text{ mg/l}$) โดยปริมาณออกซิเจนละลายน้ำมีแนวโน้มเพิ่มขึ้นจากสถานีต้นน้ำไปยังสถานีปลายทาง โดยมีค่าสูงสุดในสถานี B4 (ภาพที่ 6)

ผลการวิเคราะห์ความแปรปรวนของค่าเฉลี่ยปริมาณออกซิเจนละลายน้ำในแม่น้ำบางปะกง ตลอดลำน้ำในแต่ละฤดูกาล พบว่า ฤดูกาลต่างกันส่งผลให้ปริมาณออกซิเจนละลายน้ำในแม่น้ำ บางปะกงไม่แตกต่างกันทางสถิติ ($p > .05$) ส่วนผลการวิเคราะห์ความแปรปรวนของค่าเฉลี่ย ปริมาณออกซิเจนละลายน้ำในแต่ละสถานีตลอดระยะเวลาที่ทำการศึกษา พบว่า สถานีต่างกันส่งผลให้ปริมาณออกซิเจนละลายน้ำในแม่น้ำ บางปะกงมีความแตกต่างกันทางสถิติ ($p < .05$) โดยปริมาณออกซิเจนละลายน้ำมีแนวโน้มสูงขึ้นตามระยะทางออกสู่ทะเล ทั้งนี้ปริมาณออกซิเจนละลายน้ำมีค่าสูงที่สุดในสถานี B6 ขณะที่ค่าต่ำที่สุดในสถานีท่าใหม่ ทั้งนี้จะเห็นได้ว่าปริมาณออกซิเจนละลายน้ำที่วัดได้ในสถานี B2, B4 และ B5 มีความแปรปรวนมาก

ตารางที่ 2 แสดงพัฒนาด้วยตัวของความเสี่ยงและภัยพิบัติทางการแพทย์ของบุคคลทั่วไปในปี 2545

พารามิเตอร์	ต้นถั่วเหลือง (รากขาว)		ปลาบดูดเดง (แม่น้ำ)		ต้นถั่วเหลือง (มีน้ำหนาน)		ปลาบดูดผึ้ง (กั้นน้ำหนาน)	
	พิสัย	$\bar{X} \pm SE$	พิสัย	$\bar{X} \pm SE$	พิสัย	$\bar{X} \pm SE$	พิสัย	$\bar{X} \pm SE$
ความถูก (m)	4.20 - 18.00	9.77 ± 1.44	2.10 - 18.00	8.78 - 1.55	2.50 - 18.00	8.36 - 1.37	4.50 - 20.00	10.50 ± 1.47
อุณหภูมิ ($^{\circ}\text{C}$)	27.80 - 30.70	29.10 ± 0.11	30.25 - 33.08	31.56 ± 0.15	29.98 - 32.74	31.52 ± 0.15	29.22 - 30.82	29.58 ± 0.06
ความดัน (psu)	0.10 - 32.68	17.27 ± 2.54	8.67 - 30.05	23.74 ± 1.28	0.18 - 32.68	10.55 ± 2.04	0.07 - 26.70	6.50 ± 1.80
ความเป็นกรด-ค่า	6.67 - 7.89	7.28 ± 0.08	7.21 - 8.00	7.60 ± 0.05	7.49 - 8.17	7.67 ± 0.07	7.09 - 8.14	7.58 ± 0.07
ออกซิเจนละลายน้ำ (mg/l)	2.63 - 5.73	3.78 ± 0.24	3.30 - 5.37	4.15 ± 0.15	3.21- 5.28	4.01 ± 0.21	3.27 - 5.80	4.27 ± 0.27



ภาพที่ 6 การกระจายของอุณหภูมิน้ำ (ก) ความเค็มน้ำ (ข) ความเป็นกรด-ด่างของน้ำ (ค)
และปริมาณออกซิเจนละลายน้ำ (ง) ในแม่น้ำบางปะกงและอสุทธิในรอบปี 2545

ปริมาณชาตุอาหารอนินทรีย์ที่ละลายน้ำ

ผลการศึกษาการเปลี่ยนแปลงของปริมาณสารอาหารอนินทรีย์ที่ละลายน้ำ ได้แก่ พอสเฟต แอมโมเนียม ในไตร์ท และในเตรทบริเวณบางปะกงເອສຫງວີ ແສດງໃນຕາຮາງທີ່ 3

1. ปริมาณฟอสเฟต

ต้นคุณลักษณะปริมาณฟอสเฟตที่ตรวจวัดได้ในช่วง $0.27 - 1.64 \text{ } \mu\text{g-at P/l}$ (ค่าเฉลี่ย $0.78 \pm 0.07 \text{ } \mu\text{g-at P/l}$) โดยพบค่าต่ำสุดที่สถานี B6 และค่าสูงสุดที่สถานีท่าใหม่ ปลายคุณลักษณะปริมาณฟอสเฟตที่ตรวจวัดได้ในช่วง $0.11 - 0.49 \text{ } \mu\text{g-at P/l}$ (ค่าเฉลี่ย $0.22 \pm 0.02 \text{ } \mu\text{g-at P/l}$) โดยพบค่าต่ำสุดที่สถานี B6 และค่าสูงสุดที่สถานีบางคล้า ส่วนต้นคุณลักษณะปริมาณฟอสเฟตที่ตรวจวัดได้ในช่วง $0.31 - 2.45 \text{ } \mu\text{g-at P/l}$ (ค่าเฉลี่ย $1.27 \pm 0.10 \text{ } \mu\text{g-at P/l}$) โดยพบค่าต่ำสุดที่สถานีบางขนาด และค่าสูงสุดที่สถานี B2 และปลายคุณลักษณะปริมาณฟอสเฟตที่ตรวจวัดได้ในช่วง $0.13 - 1.41 \text{ } \mu\text{g-at P/l}$ (ค่าเฉลี่ย $0.68 \pm 0.06 \text{ } \mu\text{g-at P/l}$) โดยพบค่าต่ำสุดที่สถานี B6 และค่าสูงสุดที่สถานี B2 ดังแสดงในภาพที่ 7

ผลการวิเคราะห์ความแปรปรวนของค่าเฉลี่ย เพื่อศึกษาความแตกต่างของปริมาณฟอสเฟตที่ละลายในน้ำที่ตรวจวัด ได้ พบว่าปริมาณฟอสเฟตที่ละลายน้ำในแต่ละสถานีมีความแตกต่างกันทางสถิติ ($p < .05$) โดยปริมาณที่ตรวจวัดได้มากที่สุดในต้นคุณลักษณะ และต่ำที่สุดในปลายคุณลักษณะ แต่ทั้งนี้ขึ้นอยู่กับสถานี โดยจะเห็นว่าการแพร่กระจายของฟอสเฟตที่ละลายน้ำมีแนวโน้มสูงขึ้นจากสถานีต้นน้ำถึงตอนกลางของแม่น้ำ โดยเฉพาะสถานีที่เป็นบริเวณปากแม่น้ำ ระหว่างน้ำจืดกับน้ำทะเล หลังจากนั้นจึงลดลงตามลำดับจนกระทั่งถึงสถานีสุดท้ายในทะเล

2. ปริมาณในไตร์ท

ต้นคุณลักษณะปริมาณในไตร์ทที่ตรวจวัดได้ในช่วง $0.05 - 3.97 \text{ } \mu\text{g-at N/l}$ (ค่าเฉลี่ย $0.81 \pm 0.19 \text{ } \mu\text{g-at N/l}$) โดยพบค่าต่ำสุดที่สถานี B5 ส่วนค่าสูงสุดที่สถานีบางปะกง ปลายคุณลักษณะปริมาณในไตร์ทที่ตรวจวัดได้ในช่วง ND – $0.34 \text{ } \mu\text{g-at N/l}$ (ค่าเฉลี่ย $0.14 \pm 0.02 \text{ } \mu\text{g-at N/l}$) โดยพบค่าต่ำสุดที่สถานี B6 และค่าสูงสุดที่สถานี B2 ต้นคุณลักษณะปริมาณในไตร์ทที่ตรวจวัดได้ในช่วง $0.03 - 3.88 \text{ } \mu\text{g-at N/l}$ (ค่าเฉลี่ย $0.91 \pm 0.18 \text{ } \mu\text{g-at N/l}$) โดยพบค่าต่ำสุดที่สถานี B5 และค่าสูงสุดที่สถานี B2 และปลายคุณลักษณะปริมาณในไตร์ทที่ตรวจวัดได้ในช่วง $0.08 - 2.01 \text{ } \mu\text{g-at N/l}$ (ค่าเฉลี่ย $0.53 \pm 0.10 \text{ } \mu\text{g-at N/l}$) โดยพบค่าต่ำสุดที่สถานี B4 และค่าสูงสุดที่สถานี B3 ดังแสดงในรูปที่ 8 ผลการวิเคราะห์ความแปรปรวนของค่าเฉลี่ย เพื่อศึกษาความแตกต่างของปริมาณในไตร์ทที่ละลายน้ำที่สามารถตรวจวัดได้ พบว่า ปริมาณในไตร์ทที่ละลายน้ำในแต่ละสถานีมีความแตกต่างกันทางสถิติ ($p < .05$) โดยปริมาณที่ตรวจวัดได้มากที่สุดในต้นคุณลักษณะ และต่ำสุดในปลายคุณลักษณะ ทั้งนี้ ขึ้นอยู่กับสถานี โดยจะเห็นว่าการแพร่กระจายของในไตร์ทที่ละลายน้ำส่วนใหญ่ค่านิ่งแนวโน้มสูงในบริเวณ

ต่อนกลางของแม่น้ำ ยกเว้น ปลายดูแล้ง ปริมาณในไตร์ทมีการแพร่กระจายค่อนข้างสม่ำเสมอ ตั้งแต่สถานีต้นน้ำไปจนถึงสถานีปลายทางในทะเล

3. ปริมาณในเตรอท

ต้นดูแล้งปริมาณในเตรอทที่ตรวจวัดได้ในช่วง $0.82 - 24.87 \mu\text{g-at N/l}$ (ค่าเฉลี่ย $10.37 \pm 1.43 \mu\text{g-at N/l}$) โดยพบค่าต่ำสุดที่สถานี B5 และค่าสูงสุดที่สถานีบางปะกง ปลายดูแล้ง ปริมาณในเตรอทที่ตรวจวัดได้ในช่วง $0.73 - 21.64 \mu\text{g-at N/l}$ (ค่าเฉลี่ย $4.10 \pm 0.94 \mu\text{g-at N/l}$) โดยพบค่าต่ำสุดที่สถานี B6 และค่าสูงสุดที่สถานี B2 ส่วนต้นดูเคน ปริมาณในเตรอทที่ตรวจวัดได้ในช่วง $0.81 - 27.42 \mu\text{g-at N/l}$ (ค่าเฉลี่ย $15.78 \pm 1.50 \mu\text{g-at N/l}$) โดยพบค่าต่ำสุดที่สถานี B5 และค่าสูงสุดที่สถานีท่าใหม่ และปลายดูเคน ปริมาณในเตรอทที่ตรวจวัดได้ในช่วง $1.11 - 14.80 \mu\text{g-at N/l}$ (ค่าเฉลี่ย $8.93 \pm 0.77 \mu\text{g-at N/l}$) โดยค่าต่ำสุดอยู่ที่สถานี B6 และท่าสูงสุดที่สถานีบางปะกง ดังแสดงในภาพที่ 9 ผลการวิเคราะห์ความแปรปรวนของค่าเฉลี่ย เพื่อศึกษาความแตกต่างของ ปริมาณในเตรอทที่ละลายน้ำที่สามารถตรวจวัดได้ พบว่า ปริมาณในเตรอทที่ละลายน้ำในแต่ละดูเคน มีความแตกต่างกันทางสถิติ ($p < .05$) โดยปริมาณที่ตรวจวัดได้มากที่สุดในต้นดูเ肯 ฟัน และต่ำสุด ในปลายดูแล้งทึ่งนี้ขึ้นอยู่กับสถานีด้วย โดยพบว่าการแพร่กระจายของในเตรอทที่ละลายน้ำ ทุกดูเคนที่ตรวจวัดได้มีแนวโน้มลดลงในสถานีปลายทางในทะเล

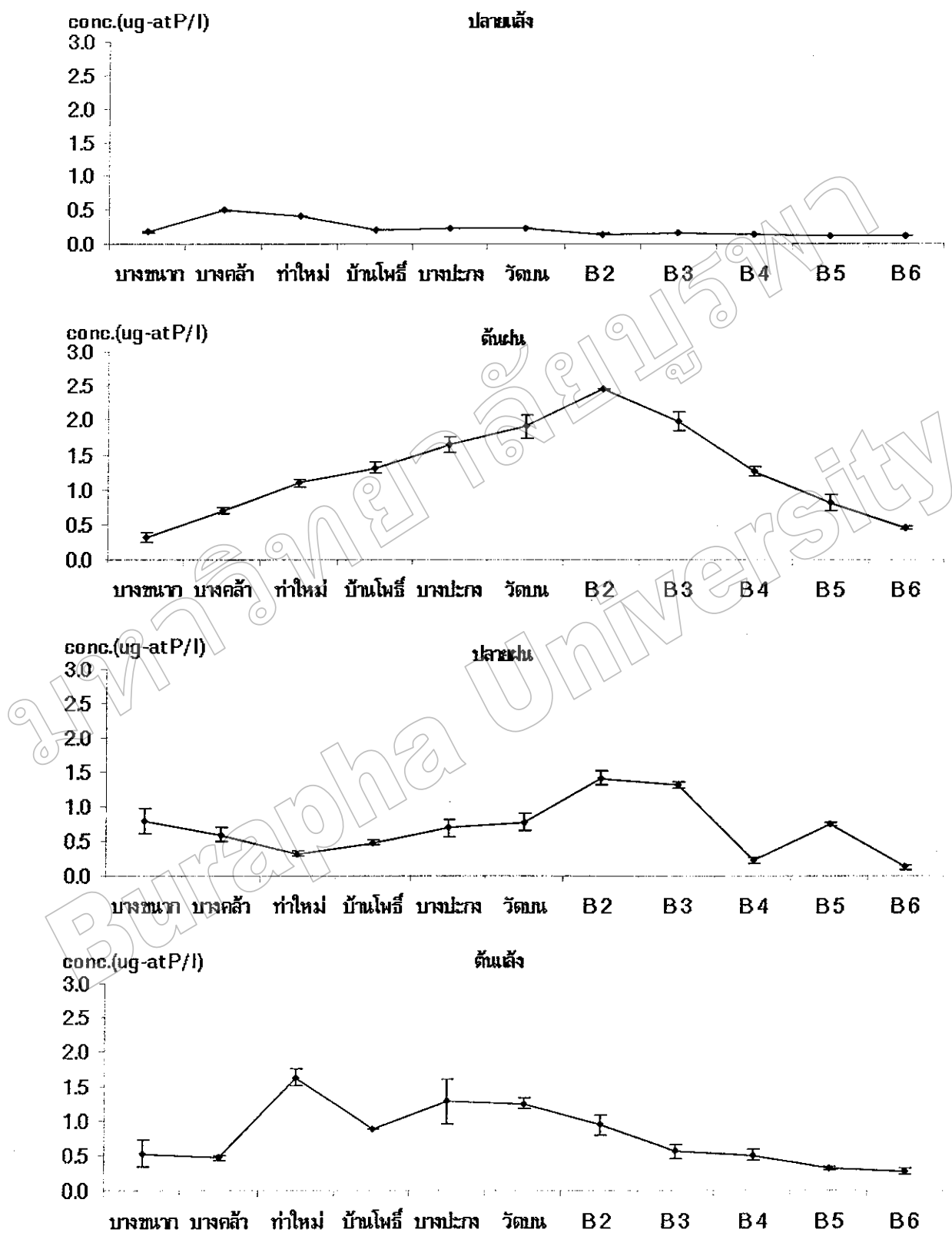
4. ปริมาณแอมโมเนีย

ต้นดูแล้งปริมาณแอมโมเนียที่ตรวจวัดได้ในช่วง $0.60 - 11.39 \mu\text{g-at N/l}$ (ค่าเฉลี่ย $2.29 \pm 0.45 \mu\text{g-at N/l}$) โดยพบค่าต่ำสุดที่สถานี B2 และค่าสูงสุดที่สถานีวัดบัน ปลายดูแล้ง ปริมาณแอมโมเนียที่ตรวจวัดได้ในช่วง $0.90 - 2.27 \mu\text{g-at N/l}$ (ค่าเฉลี่ย $1.43 \pm 0.07 \mu\text{g-at N/l}$) โดยพบค่าต่ำสุดที่สถานีบ้านโพธิ์ และค่าสูงสุดที่สถานี B6 ส่วนต้นดูเคน ปริมาณแอมโมเนียที่ ตรวจวัดได้ในช่วง $2.66 - 5.05 \mu\text{g-at N/l}$ (ค่าเฉลี่ย $3.33 \pm 0.09 \mu\text{g-at N/l}$) โดยพบค่าต่ำสุดที่ สถานี B5 และค่าสูงสุดที่สถานีท่าใหม่ และปลายดูเคน ปริมาณแอมโมเนียที่ตรวจวัดได้ในช่วง $1.83 - 28.57 \mu\text{g-at N/l}$ (ค่าเฉลี่ย $16.24 \pm 1.17 \mu\text{g-at N/l}$) โดยพบค่าต่ำสุดที่สถานี B6 และ ค่าสูงสุดที่สถานีบางปะกง ดังแสดงในรูปที่ 10 ผลการวิเคราะห์ความแปรปรวนของค่าเฉลี่ยปริมาณ แอมโมเนียที่ละลายน้ำที่สามารถตรวจวัดได้ พบว่า ปริมาณแอมโมเนียที่ละลายน้ำในแต่ละดูเคน มีความแตกต่างกันทางสถิติ ($p < .05$) โดยปริมาณที่ตรวจวัดได้มากที่สุดในปลายดูเคน และต่ำสุด ในปลายดูแล้ง โดยปริมาณแอมโมเนียมีการแพร่กระจายค่อนข้างสม่ำเสมอตั้งแต่สถานีต้นน้ำ ไปจนถึงสถานีปลายทางในทะเล ปลายดูเ肯ปริมาณแอมโมเนียมีการแพร่กระจายที่ผันผวนใน แต่ละสถานี ขณะที่ต้นดูแล้งปริมาณแอมโมเนียมีการแพร่กระจายสูงในต่อนกลางของแม่น้ำ และ จากการสังเกต พบว่าทุกดูเคนปริมาณแอมโมเนียที่ตรวจวัดได้จากสถานีวัดบัน มีแนวโน้มสูงที่สุด และสูงกว่าสถานีอื่น ๆ ยกเว้นปลายดูแล้ง

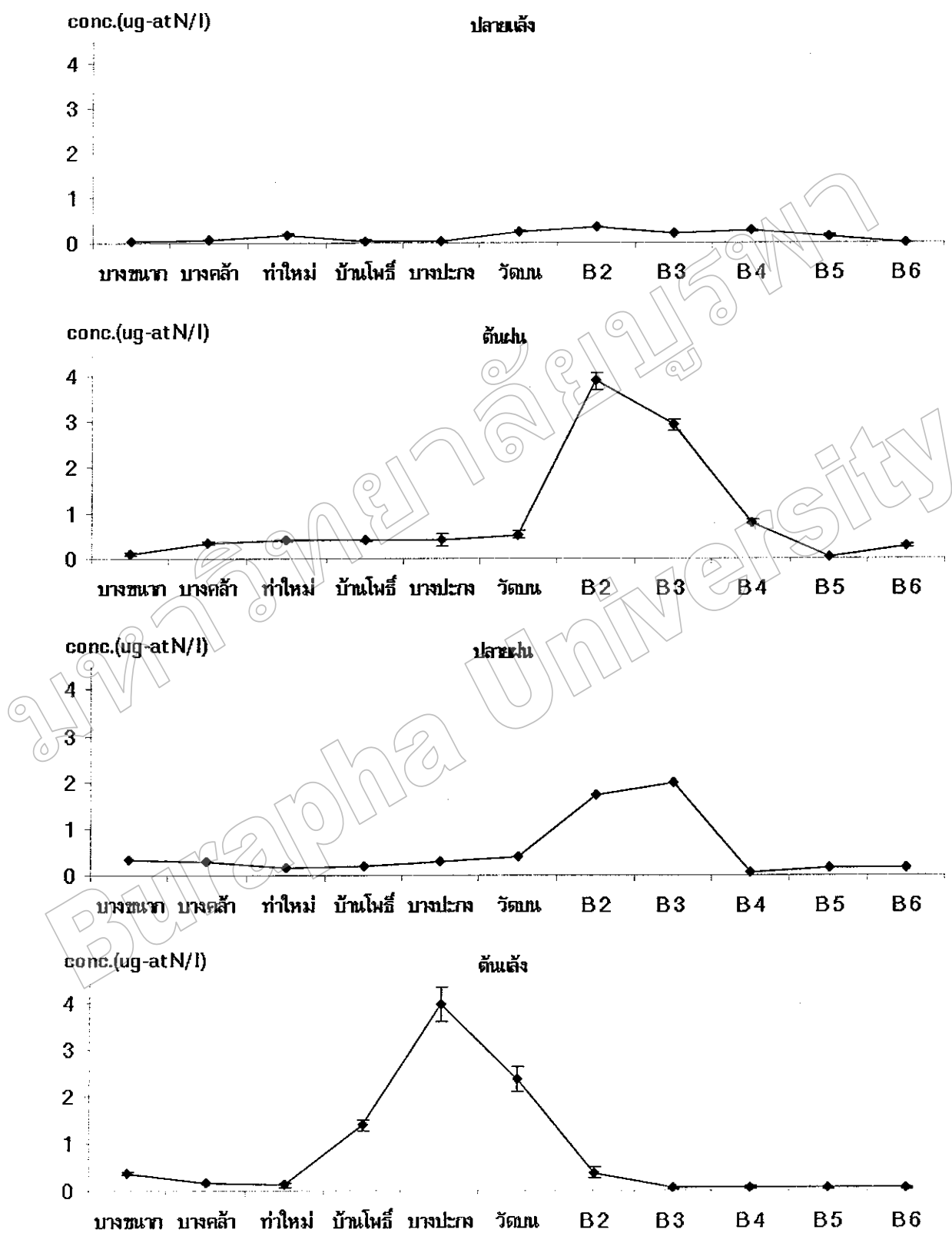
ตารางที่ 3 ผลิตภัณฑ์ปริมาณพ่อพาร์สและไข่ไก่ครกน้ำในแบบต่างๆ ในงวดประจำเดือนกรกฎาคมปี 2545

พารามิเตอร์	平均值 \pm SE	$\bar{X} \pm SE$	ตัวแปรผู้量 \pm SE	ปลายทาง \pm SE	ตัวแปรผู้ตั้ง \pm SE
ฟอสฟेट ($\mu\text{g-at P/l}$)	0.22 ± 0.02	1.27 ± 0.10	0.68 ± 0.06	0.78 ± 0.07	
ไข่ไก่ครึ่ง ($\mu\text{g-at N/l}$)	0.14 ± 0.02	0.91 ± 0.18	0.53 ± 0.10	0.81 ± 0.19	
ไข่ครึ่ง ($\mu\text{g-at N/l}$)	4.10 ± 0.94	15.78 ± 1.50	8.93 ± 0.77	10.37 ± 1.43	
แมกนีเซียม ($\mu\text{g-at N/l}$)	1.43 ± 0.07	3.33 ± 0.09	16.24 ± 1.17	2.29 ± 0.45	
ไข่ไก่ครึ่งรวมในผ้า ($\mu\text{g-at N/l}$)	5.67 ± 1.97	20.02 ± 3.27	25.70 ± 2.18	13.48 ± 3.38	
ฟอสฟอรัสตัวรวมในตัวไก่ครึ่ง ($\mu\text{g-at P/g}$)	6.31 ± 0.32	5.82 ± 0.18	5.94 ± 0.21	4.72 ± 0.30	
ไข่ไก่ครึ่งรวมตัวรวมในตัวไก่ครึ่ง ($\mu\text{g-at N/g}$)	0.63 ± 0.05	0.51 ± 0.07	0.83 ± 0.09	0.90 ± 0.10	
ไข่ไก่ครึ่งตัวรวมตัวรวมในตัวไก่ครึ่ง ($\mu\text{g-at P/l}$)	1.98 ± 0.31	3.06 ± 0.43	1.09 ± 0.15	0.22 ± 0.01	
ไข่ไก่ครึ่งตัวรวมตัวรวมในตัวไก่ครึ่ง ($\mu\text{g-at N/l}$)	1.61 ± 0.26	0.10 ± 0.12	0.67 ± 0.09	1.36 ± 0.26	

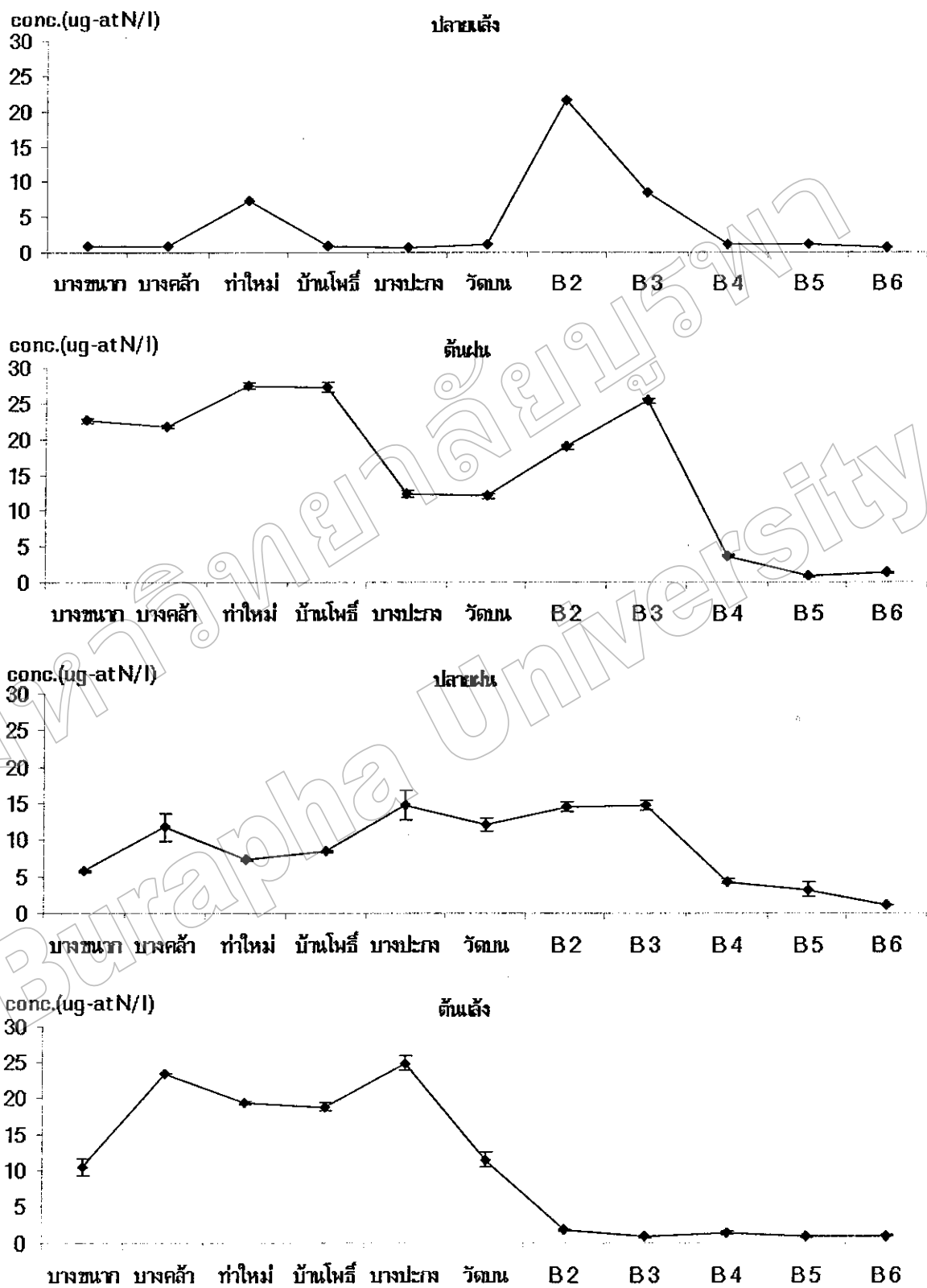
หมายเหตุ SE = ค่าความคลาดเคลื่อนมาตรฐาน



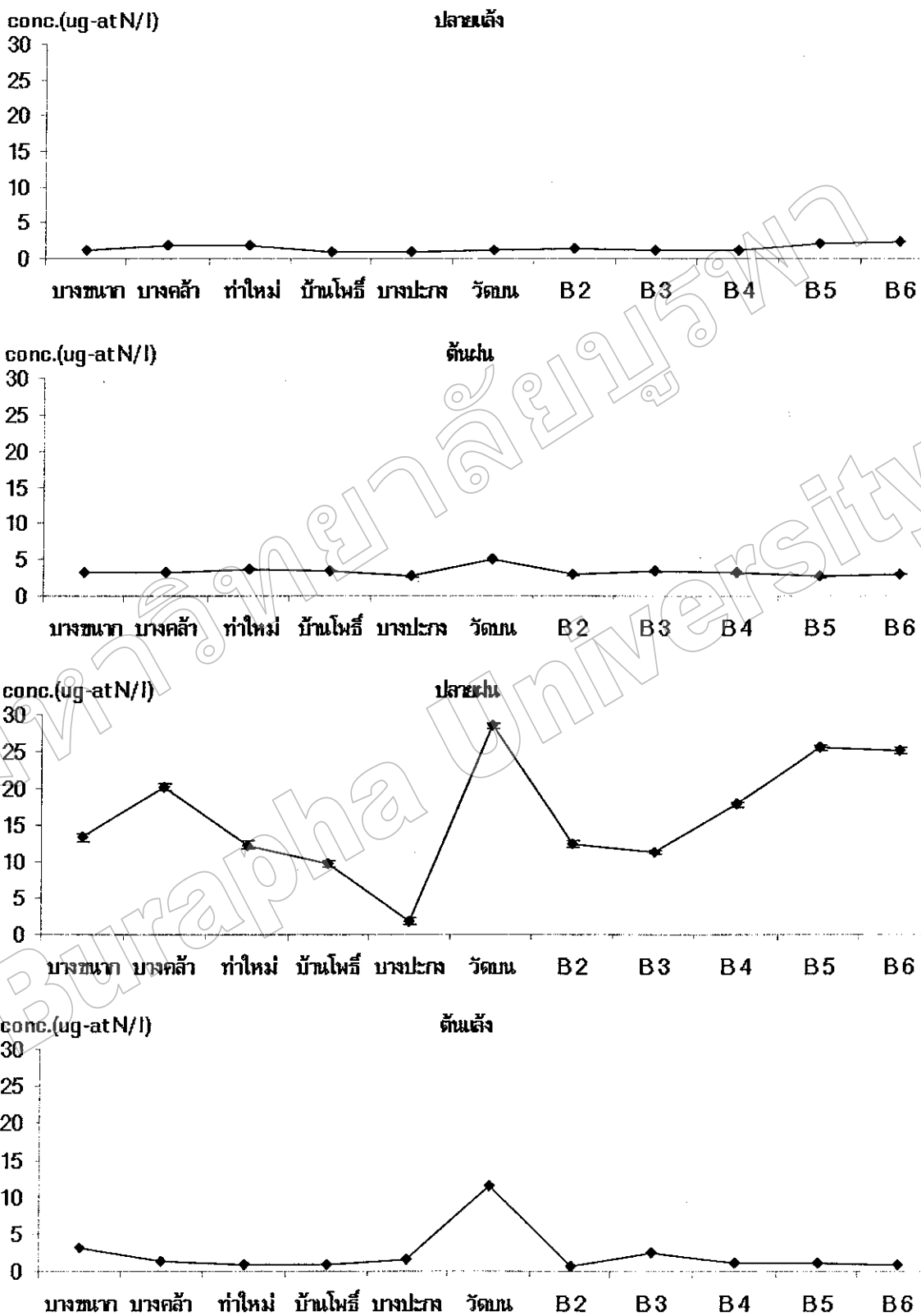
ภาพที่ 7 แสดงการแพร่กระจายของฟอสฟेटในแม่น้ำบังปะกงและอสุทธิ์ในรอบปี 2545



ภาพที่ 8 แสดงการแพร่กระจายของไนโตรเจนในแม่น้ำบางปะกงและอสุทธิ์ในรอบปี 2545



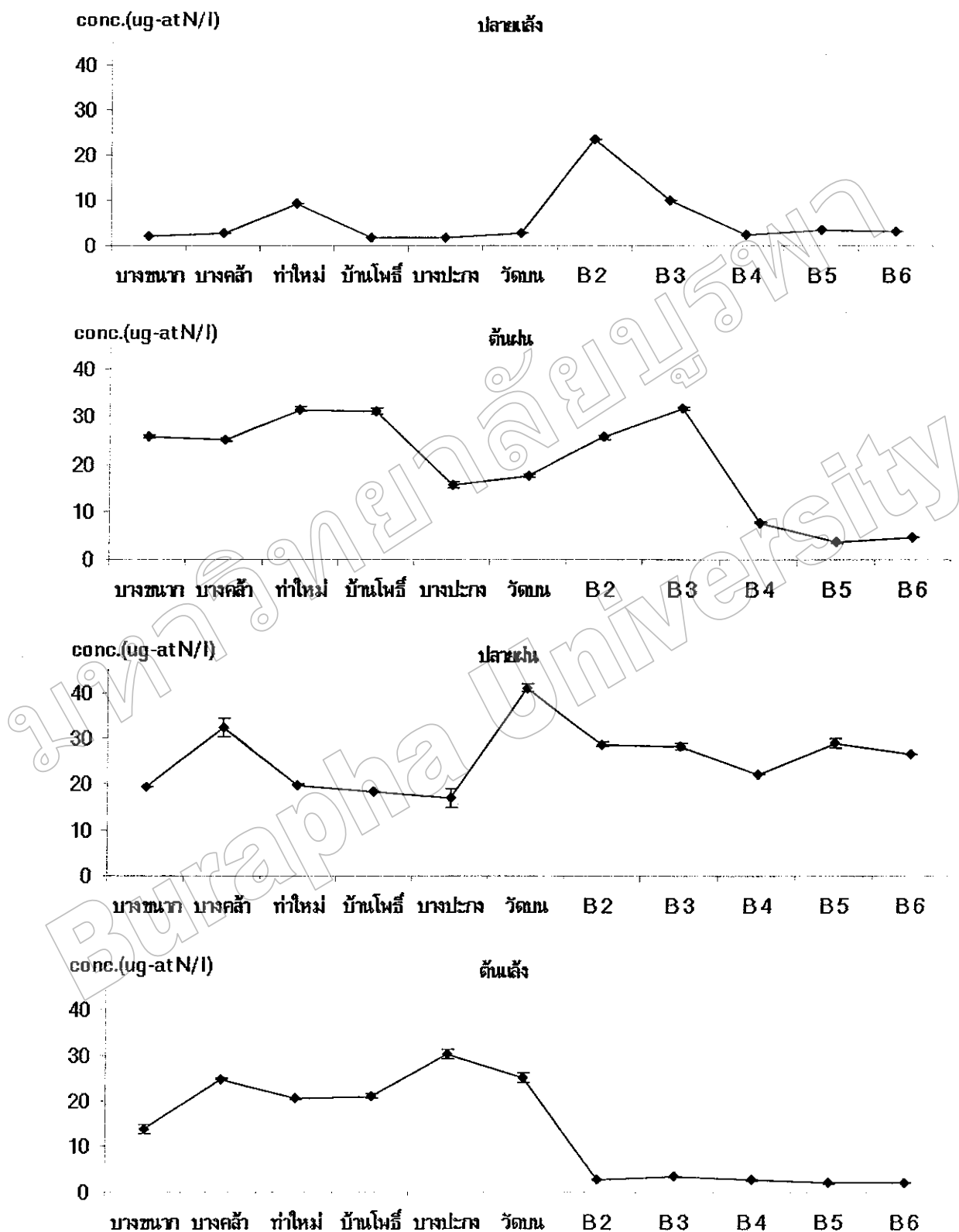
ภาพที่ 9 แสดงการแพร่กระจายของไนโตรทในแม่น้ำบางปะกงและอสุทธิ์ในรอบปี 2545



ภาพที่ 10 แสดงการแพร่กระจายของแมลงเนื้บบริเวณบึงปะกงอสุทธิ์ในรอบปี 2545

ปริมาณในโตรเจนทั้งหมดที่ละลายน้ำ

ต้นคุณลักษณะ ปริมาณในโตรเจนทั้งหมดที่ละลายน้ำที่ได้จากการคำนวณ อยู่ในช่วง $1.92 - 30.31 \mu\text{g-at N/l}$ (เฉลี่ย $13.48 \pm 3.38 \mu\text{g-at N/l}$) โดยพบค่าต่ำสุดที่สถานี B5 และค่าสูงสุดที่สถานีบางปะกงปลายคุณลักษณะปริมาณในโตรเจนทั้งหมดที่ละลายน้ำอยู่ในช่วง $1.81 - 23.28 \mu\text{g-at N/l}$ (เฉลี่ย $5.67 \pm 1.97 \mu\text{g-at N/l}$) โดยพบค่าต่ำสุดที่สถานีบ้านโพธิ์ และค่าสูงสุดที่สถานี B2 ต้นคุณลักษณะปริมาณในโตรเจนทั้งหมดที่ละลายน้ำตรวจวัดได้ในช่วง $3.50 - 31.70 \mu\text{g-at N/g}$ (เฉลี่ย $20.02 \pm 3.27 \mu\text{g-at N/l}$) โดยพบค่าต่ำสุดที่สถานี B5 และค่าสูงสุดที่สถานีทำใหม่ และปลายคุณลักษณะปริมาณในโตรเจนทั้งหมดที่ละลายน้ำตรวจวัดได้ในช่วง $16.92 - 41.08 \mu\text{g-at N/l}$ (เฉลี่ย $25.70 \pm 2.18 \mu\text{g-at N/l}$) โดยพบค่าต่ำสุดที่สถานีบางปะกง และค่าสูงสุดที่สถานีวัดบน (ภาพที่ 11) ผลการวิเคราะห์ความแปรปรวนของค่าเฉลี่ยปริมาณในโตรเจนทั้งหมดที่ละลายน้ำบริเวณบางปะกงอสุทธิ์ พบร่วมปริมาณในโตรเจนที่ละลายน้ำที่สามารถตรวจวัดได้ในแต่ละคุณลักษณะมีความแตกต่างกันทางสถิติ ($p < .05$) โดยปริมาณในโตรเจนละลายในน้ำมากที่สุดในปลายคุณลักษณะ รองลงมาคือต้นคุณลักษณะ ต้นคุณลักษณะ และปลายคุณลักษณะ ตามลำดับ นอกจากนี้ปริมาณในโตรเจนทั้งหมดที่ตรวจวัดได้ในแต่ละคุณลักษณะมีความผันผวนมากระหว่างสถานีที่เก็บตัวอย่าง อย่างไรก็ตามปริมาณในโตรเจนค่ามีแนวโน้มลดลงในสถานีปลายทางในทะเล



ภาพที่ 11 แสดงปริมาณในโทรศัพท์หมุดที่ละลายน้ำในแม่น้ำบางปะกงและอสุรีในรอบปี 2545

ปริมาณชาตุอาหารรวมต่าง ๆ ในดินตะกอนบริเวณบางปะกงและสหรี

ผลการศึกษาการเปลี่ยนแปลงของปริมาณชาตุอาหารรวมต่าง ๆ ในดินตะกอน ได้แก่ พอสฟอรัสและไนโตรเจน ในแม่น้ำบางปะกงและสหรี ทั้งสิ้น 11 สถานี ได้แสดงในตารางที่ 3

1. ปริมาณฟอสฟอรัสร่วมในดินตะกอน

ต้นคูແลังปริมาณฟอสฟอรัสร่วมในดินตะกอนตรวจวัด ได้ในช่วง $2.58 - 10.25 \mu\text{g-at P/g}$ (เฉลี่ย $4.72 \pm 0.30 \mu\text{g-at P/g}$) โดยพบค่าต่ำสุดที่สถานี B 4 และค่าสูงสุดที่สถานีวัดบัน ปลายคูແลัง ปริมาณฟอสฟอรัสร่วมในดินตะกอนตรวจวัด ได้ในช่วง $4.01 - 14.89 \mu\text{g-at P/g}$ (เฉลี่ย $6.31 \pm 0.32 \mu\text{g-at P/g}$) โดยพบค่าต่ำสุดที่สถานี B 6 และค่าสูงสุดที่สถานีวัดบัน ต้นคูฝุ่น ปริมาณฟอสฟอรัส รวมในดินตะกอนตรวจวัด ได้ในช่วง $3.19 - 9.81 \mu\text{g-at P/g}$ (เฉลี่ย $5.82 \pm 0.18 \mu\text{g-at P/g}$) โดยพบ ค่าต่ำสุดที่สถานี B 4 และค่าสูงสุดที่สถานีวัดบัน และปลายคูฝุ่นปริมาณฟอสฟอรัสร่วมในดิน ตะกอนอยู่ในช่วง $3.63 - 10.83 \mu\text{g-at P/g}$ (เฉลี่ย $5.94 \pm 0.21 \mu\text{g-at P/g}$) โดยพบค่าต่ำสุดที่สถานี B 4 และค่าสูงสุดที่สถานีบางปะกง (ภาพที่ 12) ผลการวิเคราะห์ความแปรปรวนของค่าเฉลี่ยปริมาณ ฟอสฟอรัสร่วมในดินตะกอนบริเวณบางปะกงและสหรี พบว่าปริมาณฟอสฟอรัสร่วมในดินตะกอน ที่สามารถตรวจวัด ได้ในแต่ละคูคลาล่มีความแตกต่างกันทางสถิติ ($p < .05$) โดยปริมาณฟอสฟอรัสร่วมในดินตะกอนมีมากที่สุดในต้นคูແลัง รองลงมาคือ ปลายคูฝุ่น ปลายคูແลังและต้นคูฝุ่น ตามลำดับ ทั้งนี้จะสังเกตพบว่าในทุกๆ คูคลาล่มีปริมาณฟอสฟอรัสร่วมในดินตะกอนที่วัด ได้จะมี ค่าสูงในสถานีวัดบัน และค่าน้อยแนวโน้มต่ำลงในสถานีในทะเล

2. ปริมาณไนโตรเจนรวม

ต้นคูແลัง ปริมาณไนโตรเจนรวมในดินตะกอนตรวจวัด ได้ในอยู่ช่วง $0.01 - 2.70 \mu\text{g-at N/g}$ (เฉลี่ย $0.90 \pm 0.10 \mu\text{g-at N/g}$) โดยพบค่าต่ำสุดที่สถานีบางขนาดและค่าสูงสุดที่สถานี B 4 ปลายคูແลังปริมาณไนโตรเจนรวมในดินตะกอนตรวจวัด ได้ในช่วง $0.05 - 1.48 \mu\text{g-at N/g}$ (เฉลี่ย $0.63 \pm 0.05 \mu\text{g-at N/g}$) โดยพบค่าต่ำสุดที่สถานีท่าใหม่ และค่าสูงสุดที่สถานี B 6 ต้นคูฝุ่น ปริมาณไนโตรเจนรวมในดินตะกอนตรวจวัด ได้ในช่วง $0.01 - 2.40 \mu\text{g-at N/g}$ (เฉลี่ย $0.51 \pm 0.07 \mu\text{g-at N/g}$) โดยพบค่าต่ำสุดที่สถานีบางขนาด และค่าสูงสุดที่สถานี B 6 และปลายคูฝุ่นปริมาณ ไนโตรเจนรวมในดินตะกอนตรวจวัด ได้ในช่วง $0.01 - 2.79 \mu\text{g-at N/g}$ (เฉลี่ย $0.83 \pm 0.09 \mu\text{g-at N/g}$) โดยพบค่าต่ำสุดที่สถานีบางขนาด และค่าสูงสุดที่สถานี B 6 (ภาพที่ 13) ผลการวิเคราะห์ความ แปรปรวนของค่าเฉลี่ยปริมาณไนโตรเจนรวมในดินตะกอนบริเวณบางปะกงและสหรี พบว่าปริมาณ ไนโตรเจนในดินตะกอนที่สามารถตรวจวัด ได้ในแต่ละคูคลาล่มีความแตกต่างกันทางสถิติ ($p < .05$) โดยปริมาณไนโตรเจนจะสมในดินตะกอนมากที่สุดในต้นคูແลัง รองลงมาคือ ปลายคูฝุ่น ปลายคูແลังและต้นคูฝุ่น ตามลำดับ นอกจากนี้ปริมาณไนโตรเจนที่ตรวจวัด ได้ใน

แต่ละคุณภาพยังขึ้นอยู่กับสถานีที่เก็บตัวอย่างด้วย ทั้งนี้จะเห็นว่าทุก ๆ คุณภาพปริมาณในโตรเจนที่สะสมในคืนจะมีแนวโน้มสูงขึ้นตามระยะเวลาที่มุ่งหน้าออกสู่ทะเล ทั้งนี้ค่าส่วนใหญ่ที่ตรวจวัดได้มักมีค่าสูงสุดในสถานี B6 และต่ำอยู่ที่สถานีบางนา ก ยกเว้นปลายๆ คุณภาพแล้วที่ตรวจวัดได้ต่ำสุดในสถานีท่าใหม่

ปริมาณชาต้อหารรวมต่าง ๆ ในรูปอนุภาคแขวนลอยในบริเวณบางปะกงและท่าเรือ

ผลการศึกษาการเปลี่ยนแปลงของปริมาณชาต้อหารรวมต่างๆ ได้แก่ ฟอสฟอรัสและในโตรเจน ในรูปอนุภาคแขวนลอยบริเวณบางปะกงและท่าเรือ ทั้งสิ้น 11 สถานี ได้แสดงในตารางที่ 3 และมีรายละเอียดดังนี้

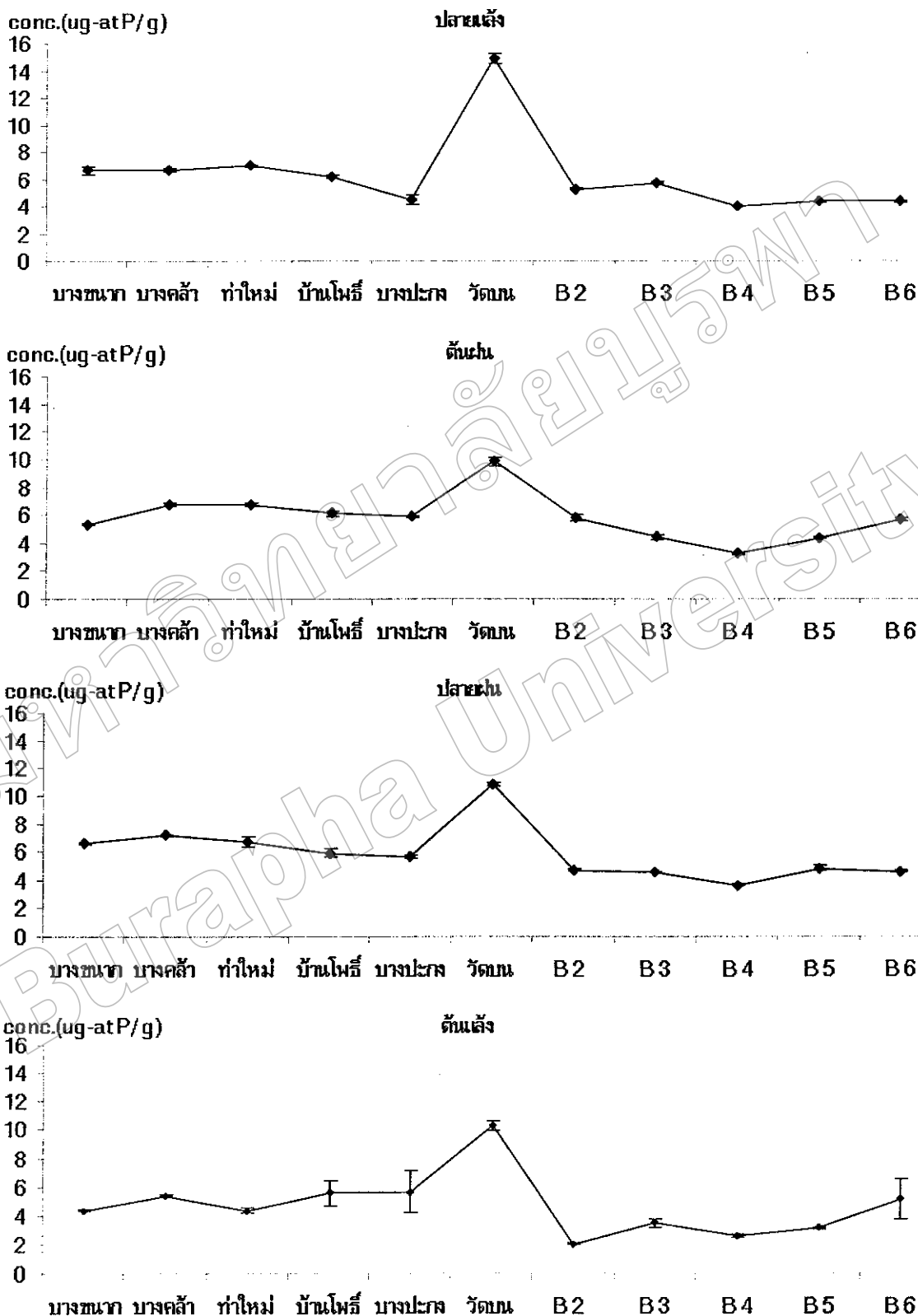
1. ปริมาณฟอสฟอรัสแขวนลอย (Particulate Phosphorous)

ต้นๆ คุณภาพแขวนลอย ปริมาณฟอสฟอรัสในรูปอนุภาคแขวนลอยตรวจวัดได้ในช่วง $0.11 - 0.41 \mu\text{g-at P/l}$ (เฉลี่ย $0.22 \pm 0.01 \mu\text{g-at P/l}$) โดยพบค่าต่ำสุดที่สถานีท่าใหม่ และค่าสูงสุดที่สถานี B2 ปลายๆ คุณภาพแขวนลอยปริมาณฟอสฟอรัสในรูปอนุภาคแขวนลอย ตรวจวัดได้ในช่วง $0.04 - 7.70 \mu\text{g-at P/l}$ (เฉลี่ย $1.98 \pm 0.31 \mu\text{g-at P/l}$) โดยพบค่าต่ำสุดที่สถานี B5 และค่าสูงสุดที่สถานีบ้านโพธิ์ ต้นๆ คุณภาพฟอสฟอรัสในรูปอนุภาคแขวนลอย ตรวจวัดได้ในช่วง $0.27 - 9.87 \mu\text{g-at P/l}$ (เฉลี่ย $3.06 \pm 0.43 \mu\text{g-at P/l}$) โดยพบค่าต่ำสุดที่สถานี B5 และค่าสูงสุดที่สถานีบางปะกง และปลายๆ คุณภาพฟอสฟอรัสในรูปอนุภาคแขวนลอย ตรวจวัดได้ในช่วง $0.22 - 3.22 \mu\text{g-at P/l}$ (เฉลี่ย $1.09 \pm 0.15 \mu\text{g-at P/l}$) โดยพบค่าต่ำสุดที่สถานี B6 และค่าสูงสุดที่สถานีท่าใหม่ (ภาพที่ 14) ผลการวิเคราะห์ความแปรปรวนของค่ากลึ่งปริมาณฟอสฟอรัสรวมในรูปของอนุภาคแขวนลอยในแม่น้ำบางปะกง และเอกสารที่ พนวันว่าปริมาณฟอสฟอรัสในรูปของอนุภาคแขวนลอยที่สามารถตรวจวัดได้ในแต่ละคุณภาพมีความแตกต่างกันทางสถิติ ($p < .05$) โดยพบปริมาณฟอสฟอรัสในรูปของอนุภาคแขวนลอยมากที่สุดในต้นๆ คุณภาพ รองลงมาคือ ปลายๆ คุณภาพแขวนลอย ปะกง และต้นๆ คุณภาพแขวนลอยตามลำดับ นอกจากนี้ปริมาณฟอสฟอรัสในรูปของอนุภาคแขวนลอยที่ตรวจวัดได้ในแต่ละคุณภาพยังขึ้นอยู่กับสถานีที่เก็บตัวอย่างด้วย ทั้งนี้จะเห็นว่าทุก ๆ คุณภาพปริมาณฟอสฟอรัสในรูปอนุภาคแขวนลอยจะพูนมากในบริเวณสถานีที่อยู่ในตอนกลางแม่น้ำ จานนี้มีแนวโน้มลดลงตามสถานีที่ออกสู่ทะเล ขณะเดียวกัน ต้นๆ คุณภาพแขวนลอยปริมาณฟอสฟอรัสในรูปอนุภาคแขวนลอย ค่าที่ตรวจวัดได้ยังคงขึ้นอยู่กับสมรรถนะของตัวอย่างและขั้นตอนที่ใช้ในการตัดต่อตัวอย่าง ทั้งนี้จะเห็นว่าทุกๆ คุณภาพฟอสฟอรัสในรูปของอนุภาคแขวนลอยจะมีค่าที่ต่ำสุดในตอนกลางแม่น้ำ และขึ้นอยู่กับตัวอย่างที่ใช้ในการตัดต่อตัวอย่าง

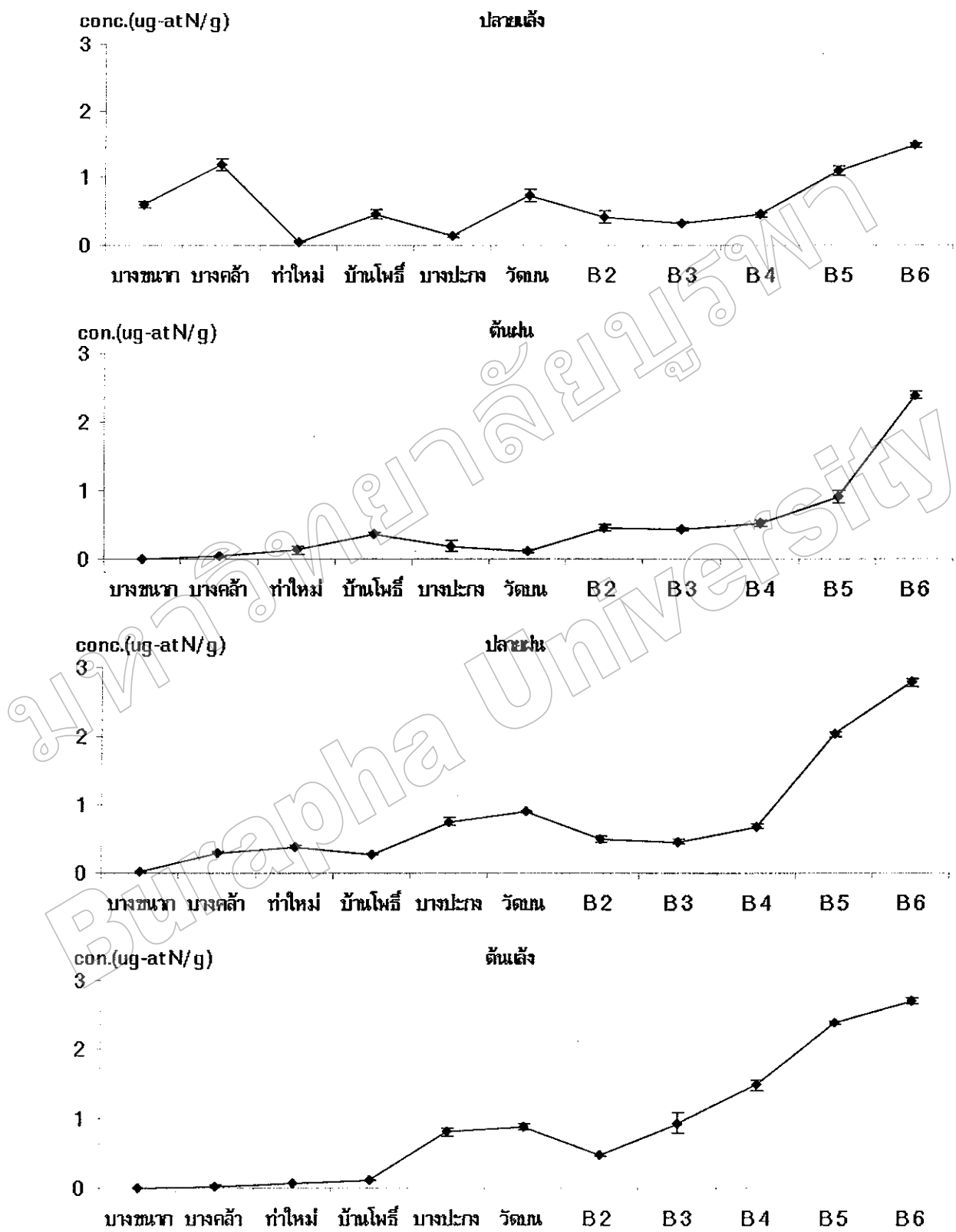
2. ปริมาณในโตรเจนแขวนลอย (Particulate Nitrogen)

ต้นๆ คุณภาพแขวนลอย ปริมาณในโตรเจนในรูปอนุภาคแขวนลอยตรวจวัดได้ในช่วง $0.18 - 5.60 \mu\text{g-at N/l}$ (เฉลี่ย $1.36 \pm 0.26 \mu\text{g-at N/l}$) โดยพบค่าต่ำสุดที่สถานีบางนา และค่าสูงสุดที่สถานี

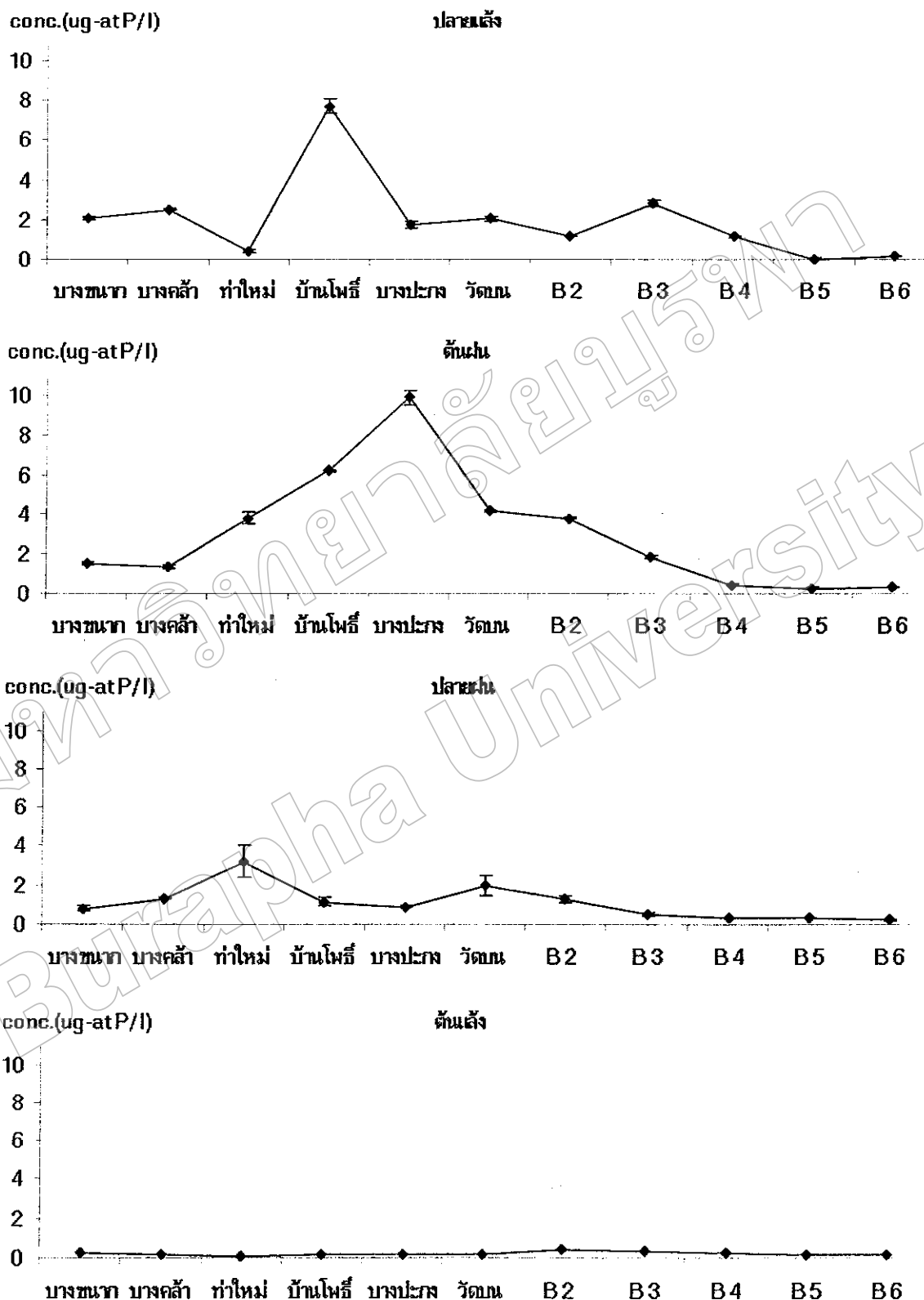
B3 ปลายถูกแหล้งปริมาณ ในโตรเจนในรูปอนุภาคแขวนลอยตรวจวัด ได้ในช่วง 0.33– 5.80 $\mu\text{g-at N/l}$ (เฉลี่ย $1.61 \pm 0.26 \mu\text{g-at N/l}$) โดยพบค่าต่ำสุดที่สถานีบางนา และค่าสูงสุดที่สถานี B3 ต้นถูกฝุ่น ปริมาณ ในโตรเจนในรูปอนุภาคแขวนลอยตรวจวัด ได้ในช่วง $0.10 – 2.29 \mu\text{g-at N/l}$ (เฉลี่ย $0.10 \pm 0.12 \mu\text{g-at N/l}$) โดยพบค่าต่ำสุดที่สถานีบางนา และค่าสูงสุดที่สถานี B3 และ ปลายถูกฝุ่นปริมาณ ในโตรเจนในรูปอนุภาคแขวนลอยตรวจวัด ได้ในช่วง $0.10 – 1.61 \mu\text{g-at N/l}$ (เฉลี่ย $0.67 \pm 0.09 \mu\text{g-at N/l}$) โดยพบค่าต่ำสุดที่สถานีบางนา และค่าสูงสุดที่สถานีวัดบัน (ภาคที่ 15) ผลการวิเคราะห์ความแปรปรวนของค่าเฉลี่ยปริมาณ ในโตรเจนในรูปอนุภาคแขวนลอย บริเวณบางปะกงເօສຖຽ พบร่วมปริมาณ ในโตรเจนในรูปอนุภาคแขวนลอย ที่สามารถตรวจวัด ได้ใน แต่ละถูกฝุ่นมีความแตกต่างกันทางสถิติ ($p < .05$) โดยปริมาณ ในโตรเจนจะอยู่ในรูปอนุภาค แขวนลอยมากที่สุดในปลายถูกแหล้ง รองลงมาคือ ต้นถูกแหล้ง ต้นถูกฝุ่นและปลายถูกฝุ่นตามลำดับ นอกจากนี้ปริมาณ ในโตรเจนในรูปอนุภาคแขวนลอย ที่ตรวจวัด ได้ในแต่ละถูกฝุ่นยังเป็นอยู่กับ สถานีที่เก็บตัวอย่างด้วย ทั้งนี้จะเห็นว่าทุก ๆ ถูกฝุ่นปริมาณ ในโตรเจนในรูปอนุภาคแขวนลอย จะ มีแนวโน้มสูงขึ้น ในตอนกลางของแม่น้ำ และลดลงเมื่อระยะทางน้ำจะหันออกสู่ทะเล



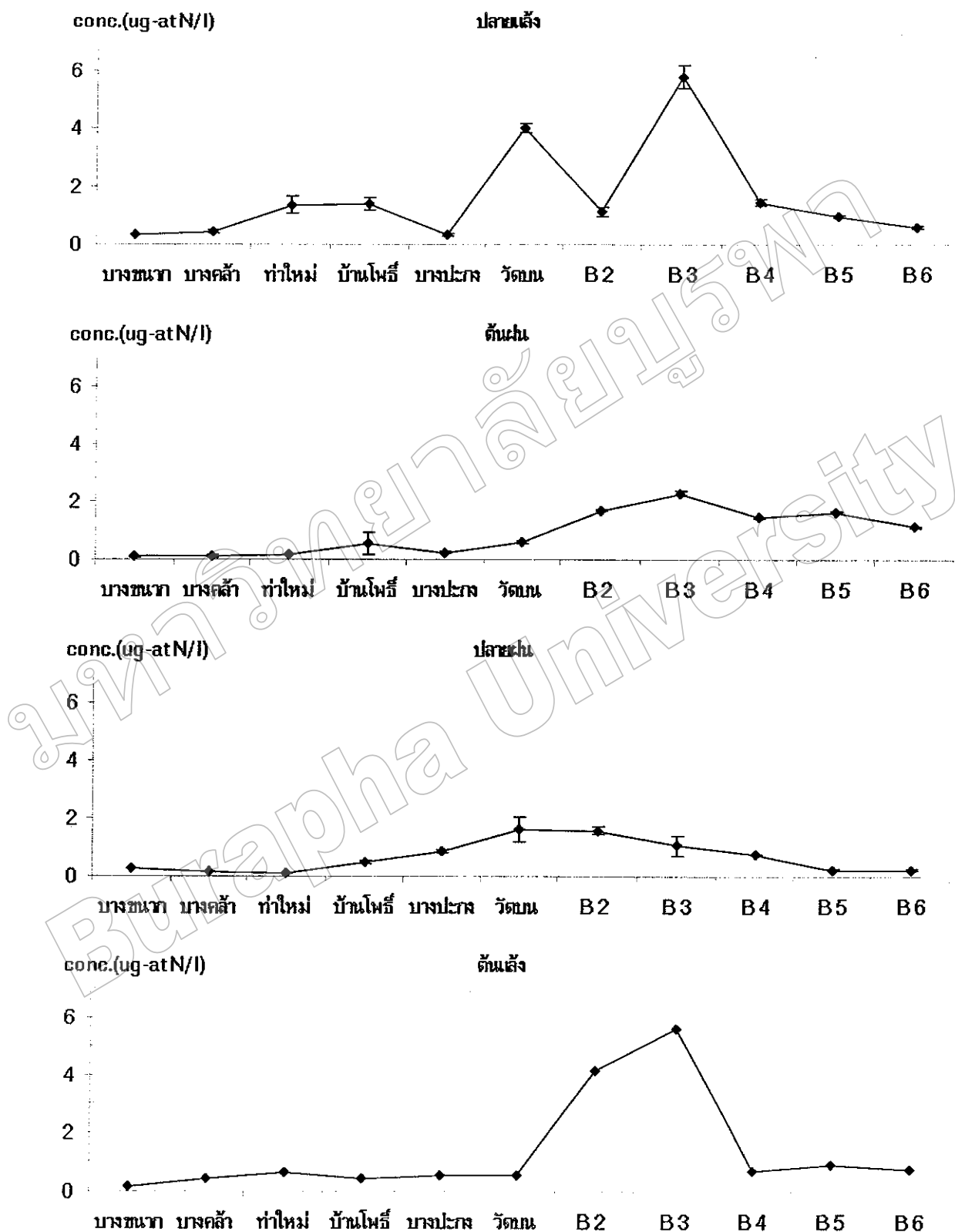
ภาพที่ 12 แสดงปริมาณฟอสฟอรัสรวมในดินต่อกันบริเวณบางปะกงเอสทูรีในรอบปี 2545



ภาพที่ 13 แสดงปริมาณในトイเรนรวมในเดือนต่อเดือนริเวณบางปะกงอสุทธิ์ในรอบปี 2545



ภาพที่ 14 แสดงปริมาณฟอสฟอรัสทั้งหมดในรูปอนุภาคแขวนลอยบริเวณบางปะกงເສດຖາ
ในรอบปี 2545



รูปที่ 15 แสดงปริมาณในต่อเรณทั้งหมดในรูปอนุภาคแขวนลอยบริเวณบางปะกงอสุทธิ์ ในรอบปี 2545

ความสัมพันธ์ของปริมาณสารอาหารฟอสฟอรัส ในโตรเจน และคุณภาพน้ำ

การศึกษาความสัมพันธ์ระหว่างปริมาณสารอาหารใน โตรเจน ฟอสฟอรัส และคุณภาพน้ำ โดยการหาค่าสัมประสิทธิ์สหสัมพันธ์ ที่ระดับความเชื่อมั่น 95 เปอร์เซ็นต์ ผลการศึกษาแสดงดังตารางที่ 4

1. ปริมาณฟอสเฟต พนว่าไม่มีความสัมพันธ์กับอุณหภูมิน้ำ ปริมาณฟอสฟอรัสและใน โตรเจนรวมในดินตะกอน และปริมาณฟอสฟอรัสและใน โตรเจนทั้งหมดในรูปอนุภาคแขวนลอย แต่มีแนวโน้มความสัมพันธ์ไปในทางตรงกันข้ามกับ ความเค็มน้ำ ปริมาณออกซิเจนละลายน้ำ และความเป็นกรด - ด่างของน้ำ กล่าวคือ ถ้าพนความเค็มน้ำ ปริมาณออกซิเจนละลายน้ำ และความเป็นกรด - ด่างของน้ำต่ำ มีแนวโน้มที่จะพบปริมาณฟอสเฟตสูง

2. ปริมาณในไตรท พนว่ามีแนวโน้มความสัมพันธ์ไปในทางตรงกันข้ามกับ ความเป็นกรด-เป็นด่างของน้ำ กล่าวคือ ถ้าพนความเป็นกรด-เป็นด่างของน้ำต่ำลง มีแนวโน้มที่จะพบปริมาณในไตรทสูงขึ้น และมีความสัมพันธ์ไปในทางเดียวกันกับปริมาณใน โตรเจนทั้งหมดที่ละลายน้ำ ขณะเดียวกันไม่มีความสัมพันธ์กับความเค็มน้ำ ปริมาณออกซิเจนละลายน้ำ อุณหภูมิน้ำ ปริมาณฟอสฟอรัสและใน โตรเจนรวมในดินตะกอน และปริมาณฟอสฟอรัสและใน โตรเจนทั้งหมดในรูปอนุภาคแขวนลอย

3. ปริมาณในเตรท พนว่าไม่มีความสัมพันธ์กับอุณหภูมิน้ำ ปริมาณฟอสฟอรัสทั้งหมดในดินตะกอน และปริมาณฟอสฟอรัสและใน โตรเจนทั้งหมดในรูปอนุภาคแขวนลอย แต่มีแนวโน้มความสัมพันธ์ไปในทางตรงกันข้ามกับ ความเค็มน้ำ ปริมาณออกซิเจนละลายน้ำ ความเป็นกรด - ด่างของน้ำของน้ำ และใน โตรเจนทั้งหมดในดินตะกอน กล่าวคือ ถ้าพนความเค็มน้ำ ปริมาณออกซิเจนละลายน้ำ ความเป็นกรด - ด่างของน้ำ และและใน โตรเจนทั้งหมดในดินตะกอนต่ำลง มีแนวโน้มที่จะพบปริมาณในเตรทสูง

4. ปริมาณแอมโมเนียม พนว่ามีความสัมพันธ์ไปในทางเดียวกันกับเฉพาะปริมาณใน โตรเจนทั้งหมดที่ละลายน้ำ กล่าวคือ ถ้าพนปริมาณใน โตรเจนทั้งหมดที่ละลายน้ำ ในปริมาณสูง มีโอกาสที่จะพบปริมาณแอมโมเนียมสูงด้วยเช่นกัน

5. ปริมาณใน โตรเจนทั้งหมดที่ละลายน้ำ พนว่าไม่มีความสัมพันธ์กับอุณหภูมิน้ำ ปริมาณออกซิเจนละลายน้ำ และ ความเป็นกรด - ด่างของน้ำ ปริมาณฟอสฟอรัสร่วมในดินตะกอน และในรูปอนุภาคแขวนลอย แต่พนว่ามีแนวโน้มความสัมพันธ์ไปในทางตรงกันข้ามในระดับปานกลางกับ ความเค็มน้ำ นั่นคือ ถ้าความเค็มน้ำสูงขึ้น มีแนวโน้มที่จะพบปริมาณใน โตรเจนทั้งหมดที่ละลายน้ำมากขึ้น

6. ปริมาณฟอสฟอรัสทึ้งหมวดในคินตะกอน พบว่าความสัมพันธ์ในระดับปานกลาง เนพะกับอุณหภูมน้ำของน้ำเท่านั้น นั่นคือ ถ้าอุณหภูมน้ำสูงขึ้น มีแนวโน้มที่จะพบปริมาณฟอสฟอรัสทึ้งหมวดในคินตะกอนสูงตามไปด้วย

7. ปริมาณในโตรเจนทึ้งหมวดในคินตะกอน พบว่ามีแนวโน้มความสัมพันธ์ไปในทางเดียวกับความเค็มน้ำ ปริมาณออกซิเจนละลายน้ำ และความเป็นกรด - ด่างของน้ำของน้ำก่อให้เกิดความเค็มน้ำ ปริมาณออกซิเจนละลายน้ำ และความเป็นกรด - ด่างของน้ำของน้ำอุณหภูมน้ำสูงขึ้น มีแนวโน้มที่จะพบปริมาณในโตรเจนทึ้งหมวดในคินตะกอนสูง ขณะที่มีความสัมพันธ์ไปในทางตรงกันข้ามกับปริมาณฟอสฟอรัสทึ้งหมวดในรูปอ่อนภาคhexenloy ก่อให้เกิด ถ้าพบปริมาณในโตรเจนทึ้งหมวดในคินตะกอนสูง โอกาสที่จะพบปริมาณฟอสฟอรัสทึ้งหมวดในรูปอ่อนภาคhexenloyต่ำ ขณะเดียวกันไม่มีความสัมพันธ์กับอุณหภูมน้ำ ปริมาณฟอสฟอรัสและในโตรเจนทึ้งหมวดที่ละลายน้ำ และปริมาณในโตรเจนทึ้งหมวดในคินตะกอน

8. ปริมาณฟอสฟอรัสทึ้งหมวดในรูปอ่อนภาคhexenloy พบว่ามีความสัมพันธ์ในระดับปานกลางกับอุณหภูมน้ำนั่นคือ ถ้าอุณหภูมน้ำสูงขึ้น มีแนวโน้มที่จะพบปริมาณฟอสฟอรัสทึ้งหมวดในรูปอ่อนภาคhexenloyมากขึ้น และมีความสัมพันธ์ในทางตรงกันข้ามกับปริมาณในโตรเจนทึ้งหมวดในคินตะกอน ก่อให้เกิด ถ้าพบปริมาณฟอสฟอรัสทึ้งหมวดในรูปอ่อนภาคhexenloyต่ำ โอกาสที่จะพบปริมาณในโตรเจนทึ้งหมวดในคินตะกอนสูง

9. ปริมาณในโตรเจนทึ้งหมวดในรูปอ่อนภาคhexenloy พบว่าไม่มีความสัมพันธ์กับอุณหภูมน้ำ ปริมาณออกซิเจนละลายน้ำ ความเป็นกรด - ด่างของน้ำ ปริมาณฟอสฟอรัสและในโตรเจน และปริมาณฟอสฟอรัสทึ้งหมวดในรูปอ่อนภาคhexenloy แต่พบว่ามีแนวโน้มความสัมพันธ์ไปในทางเดียวกันในระดับปานกลางกับ ความเค็มน้ำ และปริมาณฟอสฟอรัสทึ้งหมวดที่ละลายน้ำ นั่นคือ ถ้าความเค็มน้ำและปริมาณฟอสฟอรัสทึ้งหมวดที่ละลายน้ำสูงขึ้น มีแนวโน้มที่จะพบปริมาณในโตรเจนทึ้งหมวดที่ละลายน้ำ กล่าวคือถ้าพบปริมาณในโตรเจนทึ้งหมวดในรูปอ่อนภาคhexenloyสูง มีโอกาสที่จะพบปริมาณในโตรเจนทึ้งหมวดที่ละลายน้ำต่ำ

ตารางที่ 4 การดำเนินการตามแผนพัฒนาสังคมท้องถิ่นเพื่อรักษาและอนุรักษ์ภูมิปัญญาทางวัฒนธรรมของอุทยานฯ

** ၁၀ ၂၀၂၃ ခုနှစ်၊ ဧပြီလ၊ ၁၅ ရက်နေ့၊ ၁၁:၀၀ မူနာရီ

ຕາຮາງທີ 4 (ຕ່ອ)

- * การยกร่างกายตามทิศทางที่ระบุไว้ในแบบเรียน
- * * การยกตัวอย่างเช่นเดียวกัน